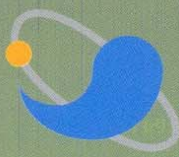


第 29 券 第 1 號

Volume 29, Number 1

2006年度 春季  
マイクロ波 및 電波傳播  
學術大會 論文集



KEES



日 時：2006年 5月 26日 (金)  
場 所：한국 항공 대학 교

大韓韓大

韓國韓

電通磁氣子信波工

學學學學

會會會會

IEEE MTT/AP/EMC Korea Chapter

**Session II****마이크로파 수동회로 분야**

▶ 장소 : 항공우주센터 203호

**13:30~15:30****좌장 : 이정해(홍익대)**

[2-1-1]	13:30~13:50	공진회로를 이용한 마이크로파 군지연 시간 조정기	서수진, 박상근, 최홍재, 정용채, 윤재훈, 김철동(전북대/한국전자통신연구원/세원텔레텍(주))	279
[2-1-2]	13:50~14:10	새로운 평면 Left-Handed 전송 선로와 이를 이용한 Backward-Wave 방향성 커플러 구현	박재현, 유영호, 이재곤, 이정해(홍익대/경북대)	283
[2-1-3]	14:10~14:30	주기구조를 이용한 partial H-plane filter	김동진, 이정해(홍익대)	287
[2-1-4]	14:30~14:50	새로운 구조의 방향성 결합기	김용범, 임종식, 이길영, 안달(순천향대/공군사관학교)	291
[2-1-5]	14:50~15:10	대역통과 여파기 설계를 위한 새로운 등가식	배주석, 임종식, 이길영, 안달(순천향대/공군사관학교)	295
[2-1-6]	15:10~15:30	1:6 비대칭 월킨스 전력 분배기	임종식, 이길영, 정용채, 안달, 최관순, 오성민, 구재진(순천향대/공군사관학교/전북대)	299

15:30~16:00 Coffee Break

**16:00~18:00****좌장 : 황희용(강원대)**

[2-2-7]	16:00~16:20	결합된 결합접지모드를 이용한 소형 대역저지 필터	정상운, 임영광, 이해영(아주대)	303
[2-2-8]	16:20~16:40	통과대역 보상용 2단 대역통과 여파기의 특성 연구	문수덕, 황희용(강원대)	307
[2-2-9]	16:40~17:00	소형화 및 고조파 특성이 개선된 접힌 구조의 링하이브리드의 설계	이홍섭, 최경, 황희용(강원대)	311
[2-2-10]	17:00~17:20	소형화된 이중모드 마이크로스트립 링 공진기를 이용한 대역통과 필터 설계	최성수, 박동철(충남대)	315
[2-2-11]	17:20~17:40	35 GHz 대역의 Quasi-Yagi 안테나를 이용한 공간 전력합성기 설계 및 구현	홍만기, 우동식, 전종훈, 김강욱(경북대)	319
[2-2-12]	17:40~18:00	다중 주파수 대역 특성을 갖는 DGS의 설계	우덕제, 이택경(한국항공대)	323

## 1:6 비대칭 윌킨슨 전력 분배기

\*임종식<sup>0</sup>, \*\*이길영, \*\*\*정용채, \*안달, \*최관순, \*오성민, \*구재진

\*순천향대학교 정보기술공학부 \*\*공군사관학교 전자공학과 \*\*\*전북대학교 전자정보공학부

### A 1:6 Unequal Wilkinson Power Divider

\*Jong-Sik Lim<sup>0</sup>, \*\*Gil-Young Lee, \*\*\*Yong-Chae Jeong,

\*Dal Ahn, \*Kwan-Sun Choi, \*Sungmin Oh and \*Jae-Jin Koo

\*Division of Information Technology Engineering, Soonchunhyang University

\*\* Department of Electronic Engineering, Korea Air-Force Academy

\*\*\*Division of Electronics and Information Engineering, Chonbuk National University

#### Abstract

A 1:6 Unequal Wilkinson power divider is proposed. The proposed 1:6 divider has the microstrip line with  $207\Omega$  characteristic impedance by adopting a simple rectangular-shaped defected ground structure (DGS). Instead of the previous meander-shaped DGS, the proposed rectangular-shaped DGS produces the transmission line having much higher characteristic impedance because of the decreased equivalent capacitance as well as the increased inductance. The analytic verification procedure for  $207\Omega$  is also illustrated. The measured performances show that the proposed 1:6 Wilkinson divider has excellent performances with a good agreement with the predicted ones.

#### I. 머리말

윌킨슨 전력 분배기는 가장 널리 사용되는 초고주파 회로 가운데 하나이다. 기본적인 2-way 윌킨슨 전력 분배기는 두 출력 단자에 같은 크기의 전력이 출력으로 나타난다[1]. 그러나 만약에 1:N 의 전력 분배비에서  $N \neq 1$ (엄밀히 말하면  $N > 1$ )인 비대칭의 경우에는, 어느 한 쪽 경로의 전송선로의 특성 임피던스가 표준형인  $70.7\Omega$  보다 높은 값이 요구된다[2]. 예를 들어  $N=2$  나  $N=3$  인 경우에는 각각  $103\Omega$ 과  $132\Omega$ 의 높은 특성 임피던스를 갖는 전송선로가 어느 한 경로에 요구된다. 그러나 표준형 마이크로스트립 선로의 경우, 특별한 문제 없이 구현이 가능한 임피던스의 한계가  $100\Omega \sim 130\Omega$  정도라는 문제가 심각하게 제기될 수 있다. 간혹 두꺼운 기판을 사용할 경우 특성 임피던스의 구현 한계를 다소 높일 수는 있으나 기판의 두께가 해당 주파수에서 지나치게 두꺼워져

야 한다는 문제가 생긴다.

이러한 문제를 해결하는 한 가지의 방법으로, 미엔더 형태의 결함접지구조(defected ground structure, DGS)를 사용하여 마이크로스트립 선로의 특성 임피던스를  $158\Omega$ 까지 끌어올리고 이를 이용하여 1:4 비대칭 윌킨슨 전력 분배기를 설계한 사례가 발표된 적이 있다. [3]에 발표된 방법에 따르면,  $Z_0 = (L/C)^{1/2}$ 로 표현되는 특성 임피던스를  $158\Omega$ 까지 높이려는 목적으로 등가의 L 을 키우기 위하여 미엔더 형태의 DGS 를 사용하였다. 그러나 종래의 이 방법에 의하면 등가의 C 성분이  $Z_0$ 의 결정 과정에서 무시하지 못할 정도의 크기로 존재하므로,  $150\Omega \sim 160\Omega$  정도의 값이 미엔더형 DGS 로 구현이 가능한 마이크로스트립 선로의 특성 임피던스 한계였다.

그러나 비대칭 비율이 [3]에서보다 더 큰  $N=6$  이 되려면, 한 쪽 경로의 전송선로 임피던스가  $207\Omega$  이 되어

종래의 미엔더형 DGS 로는 구현이 불가능하게 된다. 본 논문에서는 이런 임피던스의 한계를 극복해 보고자, 등가의 캐페시터가 크게 줄어든 단순한 사각형 구조의 DGS 를 삽입한 전송선로를 제안한다. 이를 통하여  $207\Omega$ 의 특성 임피던스를 갖는 마이크로스트립 전송선로를 구현하고, 이어서 1:6 비대칭 전력 분배기를 설계, 제작 및 측정한 결과에 대하여 기술하고자 한다.

## II. $200\Omega$ 이상의 특성 임피던스를 갖는 마이크로스트립 전송 선로

그림 1 은 2-way 월킨슨 전력 분배기의 기본적인 회로를 보여주고 있다. 만약에 전력 분배비가  $1:N$  ( $N \geq 2$ ) 의 비대칭이라면 특성 임피던스  $Z_3$  는 매우 급격하게 큰 값을 요구한다. 마이크로스트립 선로로 구현하는 회로의 경우, 높은 특성 임피던스의 전송선로는 구현 가능성이 관한 문제가 발생할 수 있다. 표 1 은 비대칭 비율을 1~6 까지 바꾸었을 때  $Z_3$  의 값의 변화를 보여주고 있다.  $N=6$  의 경우에  $Z_3=207\Omega$ 이므로 일반적인 마이크로스트립 선로의 구현 한계보다 훨씬 높은 값임을 알 수 있다.

종래에 발표된 바에 따르면, 1:4 비대칭 월킨슨 분배기는  $158\Omega$ 의 마이크로스트립 선로를 구현하기 위하여 미엔더 형태의 DGS 를 삽입하였다. 미엔더 형태의 DGS 는 등가의 인덕턴스를 크게 높여주어 특성 임피던스를 표준형 선로보다 크게 높여준다. 그러나 이 방법에 있어서도 등가의 캐페시턴스가  $Z_0$  결정에 무시할 수 없는 크기를 가지므로 선로 임피던스의 구현 한계를 높이는데 있어서 또 다른 한계로 작용한다. 따라서 미엔더형 DGS 를 이용한 마이크로스트립 전송선로의 임피던스 구현 한계는  $150\sim160\Omega$  사이로 제시되었다[3].

$200\Omega$  이상의 특성 임피던스를 얻기 위해서는 등가의  $L$  이 매우 커지고(커지거나)  $C$  가 아주 작아져야 한다. 기존의 미엔더형 DGS 나 또는 다른 형태의 복잡한 기하학적 구조를 갖는 DGS 는 등가  $L$  의 증가에 따라 등가  $C$  도 일정량 증가한다는 문제가 있다. 그러나 본 논문에서는  $L$  의 증가와는 무관하게 등가의  $C$  를 급격하게 줄일 수 있는 단순한 형태의 사각형 DGS 를 사용한다. 따라서  $200\Omega$  이상의 특성 임피던스를 얻을 수 있는

단서를 제공한다.

그림 2 는 단순한 사각형 형태의 DGS 를 갖는 마이크로스트립 선로(이하 “DGS 선로”)를 보여주고 있다. 본 논문에서는 예로써 유전율이 2.2 이고 두께가 31mils 인 기판을 사용하였다. 한편  $W1$  과  $W2$  는 접지면에 있는 단순한 사각형 DGS 의 크기이고,  $WM$  은 마이크로스트립 선로의 폭이다. 이 사각형 DGS 가 마이크로스트립 선로의 아래 접지면에 식각될 때 선행 연구에서 밝혀졌듯이 등가의 인덕턴스가 크게 증가한다. 그러나 등가의 인덕턴스의 증가에 비하여 추가되는 캐페시턴스는 극히 작은 값이 된다. 따라서 결과적으로 특성 임피던스가 크게 증가한 것으로 나타나게 된다.

예로서 본 논문에서는  $WM=0.4mm$  을 취하였다. 이 때 표준형 마이크로스트립 선로의 특성 임피던스는  $124\Omega$ 이다. 만약에  $207\Omega$ 의 특성 임피던스를 갖는 마이크로스트립 선로를 구현하려면 선폭이  $0.07mm$  로 좁아지게 되어 구현하는데 큰 어려움이 따른다.

그림 3은  $W1=22mm$ ,  $W2=12mm$  로 취했을 때의 선로에 대한 측정된 S-파라미터를 보여준다. 측정된  $S_{11}$  값이 약 -1dB 로, 그림 2 의 DGS 를 갖는 선로가  $207\Omega$ 의 특성 임피던스를 갖는 마이크로스트립 선로임을 간접적으로 보여준다. 이에 대한 추가적인 설명을 하면 다음과 같다.

그림 3의 측정 결과를 보면 DGS 선로의 입력반사 특성은 중심주파수 ( $F_0$ )에서  $S_{11}=-1dB$  이다.  $F_0$  에서  $\lambda/4$  가 되도록 DGS 선로의 길이는 사전에 선택되었다. 그림 4 에서처럼 DGS 선로의 특성 임피던스를 편의상  $Z_3$  이라 하자. 그러면  $F_0$  에서  $\theta=\pi/2$  인데, 이때  $\Gamma$ 의 크기는 최대이며  $S_{11}$  과  $\Gamma$ 는 식 (1)과 같은 관계가 있다. 일단  $\Gamma$ 의 크기가 결정되면 식 (2)에 의하여 한쪽이 단락된 상태에서 DGS 선로의 입력 임피던스가 계산된다. 따라서 식 (3)에 의하여  $Z_3$  가 결정된다.  $207\Omega$ 의 특성 임피던스를 위한 정확한  $S_{11}$  은 -1.01dB 이다.

$$S_{11}[dB] = 20 \log|\Gamma| \quad (1)$$

$$Z_{in} = Z_o \frac{1+|\Gamma|}{1-|\Gamma|} \quad (2)$$

$$Z_3 = \sqrt{Z_{in} Z_o} = Z_o \sqrt{\frac{1+|\Gamma|}{1-|\Gamma|}} \quad (3)$$

### III. 1:6 전력분배기의 제작 및 측정

그림 5는 제안하는 1:6 비대칭 전력 분배기의 레이아웃이다. 출력측 경로의 임피던스는 스케매틱 회로의  $R_2$ 와  $R_3$ 를 측정시 용이하도록 하기 위하여  $\lambda/4$  선로로 변환한 것이다. 그림 2에 보인 단순한 사각형 형태의 DGS 선로가 삽입되어 있다. 한 가지 강조할 점은 단순한 사각형 형태의 DGS 구조가 우연히 선택된 것이 아니라, 위에서 이미 설명하였듯이 등가의 인덕턴스는 키우면서 동시에 등가의 캐패시터는 반대로 크게 줄이기 위한 고려의 결과로서 결정된 구조라는 것이다. 1:6 분배비를 위한 이상적인 격리저항( $R_{int}$ ) 값은  $143\Omega$ 이다. 하지만 실제로는 임의의 모든 저항값에 대하여 칩 저항이 적용할 수 있는(available) 것이 아니므로, 본 논문에서는 가장 가까운  $150\Omega$  칩 저항으로 선택하였다.

그림 6의 두 그림은 이상적인 전송선로 소자와 저항값을 이용하여 회로 시뮬레이터인 Agilent ADS(Advanced Design System)로 예측한 이상적인 1:6 비대칭 윌킨슨 전력 분배기의 특성과, 본 논문에서 제시한 방법에 의하여 제작하여 측정한 분배기의 성능을 보여주고 있다. 실제 측정결과와 이상적인 조건하에서의 예측 결과를 비교해 보면 비록 사소한 불일치 점들이 보이고 있으나, 제안한 1:6 비대칭 분배기의 측정된 특성이 이상적인 특성을 매우 가깝게 따라가고 있음을 알 수 있다.  $F_o$ 를 중심으로 각 단자에서의 정합(matching), 두 출력 단자간 격리(isolation), 그리고 두 출력 전력 간의 분배비가 매우 우수함을 알 수 있다. 따라서 제안한 방법에 의한 1:6 비대칭 윌킨슨 전력 분배기의 성능이 충분히 검증되고 있다.

### IV. 맷음말

본 논문에서는 단순한 사각형 형태의 DGS를 마이크로스트립 선로에 삽입하여 특성 임피던스를  $207\Omega$ 으로 크게 키우는 방법을 제시하고, 이 선로를 활용하여

1:6 비대칭 윌킨슨 전력 분배기를 실제로 설계, 제작하여 그 특성을 측정한 결과를 제시하였다. 먼저 DGS 선로의 특성만을 따로 측정한 결과  $207\Omega$ 의 특성 임피던스에 해당하는  $S_{11}$ 을 얻어서 제안한 방법의 타당성을 검증하였다. 이어서 실제로 측정한 1:6 전력 분배기의 성능을 측정을 통하여 제시하였다. 측정된 1:6 비대칭 분배기의 특성은 이상적인 소자로만 구성된 1:6 비대칭 분배기의 이상적인 특성과 매우 유사하였다. 저자들이 현재까지 알고 있는 한, 본 논문에서 제안한 구조는 최초로 구현되고 측정된 1:N ( $N \geq 5$ ) 비대칭 윌킨슨 전력 분배기이다. 본 논문에서 제안한 회로 구조는 비대칭 분배기를 필요로 하는 다수의 회로 및 시스템에서 다양하게 응용될 수 있을 것으로 기대된다.

### 감사의 글

이 논문은 교육인적자원부, 산업자원부, 노동부의 출연금 및 보조금으로 수행한 최우수실험실지원사업의 연구결과입니다.

### 참고문헌

- [1] E. J. Wilkinson, "An N-way hybrid power divider," *IRE Trans. Microwave Theory Tech.*, vol. 8, pp. 116-118, Jan. 1960.
- [2] D.M. Pozar, *Microwave Engineering*, Second edition, pp. 367 ~ 368, John Wiley and Sons, Inc., New York, 1998.
- [3] J.-S. Lim, S.-W. Lee, C.-S. Kim, J.-S. Park, D. Ahn, and S. Nam, "A 4:1 Unequal Wilkinson Power Divider," *IEEE Microwave and Wireless Components Letters*, vol. 11, no. 3, pp. 124 - 126, Mar. 2001.
- [4] J.-S. Lim, C.-S. Kim, J.-S. Park, D. Ahn, and S. Nam, "Design of 10dB 90° branch line coupler using microstrip line with defected ground structure," *IEE Electronics Letters*, vol. 36, no. 21, pp. 1784-1785, Oct. 2000.

Table 1 Characteristic impedance and resistor values of 1:N unequal Wilkinson power divider shown in Fig. 1.

N	$Z_o$ [Ω]	$Z_2$ [Ω]	$Z_o$ [Ω]
1	50	70.7	70.7
2	50	51.5	103.0
3	50	43.9	131.6
4	50	39.5	158.1
5	50	36.6	183.1
6	50	34.5	207.0

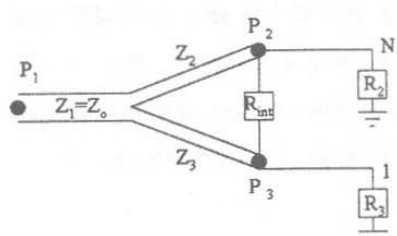


그림 1. 1:N 비대칭 월킨슨 전력 분배기 구조

Fig. 1 Topology of 1:N unequal Wilkinson power divider

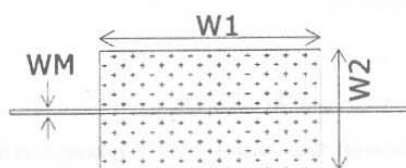


그림 2. 207Ω 마이크로스트립 선로를 위한 DGS 구조

Fig. 2 Rectangular-shaped DGS for 207Ω microstrip line.

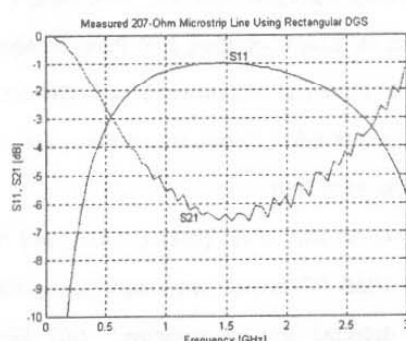


그림 3. 그림 2의 DGS 선로의 측정된 S-파라미터

Fig. 3 Measured S-parameters of the DGS line shown in Fig. 2

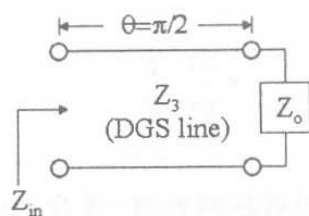


그림 4. DGS 선로의 특성 임피던스( $Z_3$ )를 계산하기 위한 단순화된 전송선로 모델

Fig. 4 Simplified model to determine the characteristic impedance ( $Z_3$ ) of DGS line

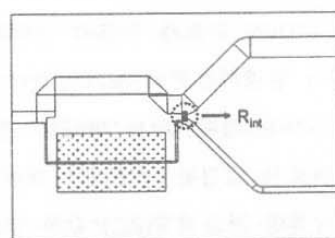
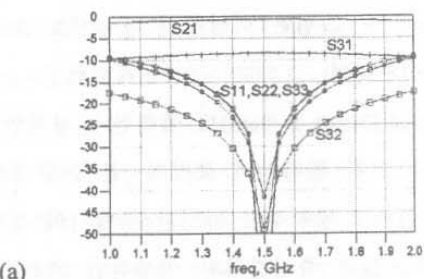


그림 5. 1:6 분배기의 회로 레이아웃

Fig. 5 Layout of the proposed 1:6 power divider



(a)

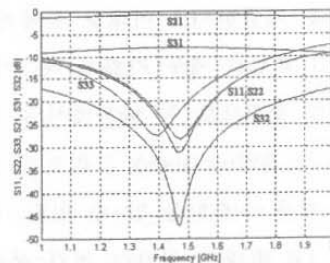


그림 6. 1:6 전력 분배기의 성능 (a) 이상적 회로에 대한 이상적인 회로의 특성 (b) 측정 성능

Fig. 6 Performances of the proposed 1:6 Wilkinson divider (a) Ideal Performances for the ideal network (b) Measurement